

## Лабораторная работа № 2

### ИССЛЕДОВАНИЕ УСТОЙЧИВОСТИ ЛИНЕЙНЫХ СИСТЕМ АВТОМАТИЧЕСКОГО УПРАВЛЕНИЯ

Цель работы: исследовать влияние параметров линейной системы на ее устойчивость.

Структурная схема исследуемой системы и численные значения параметров.

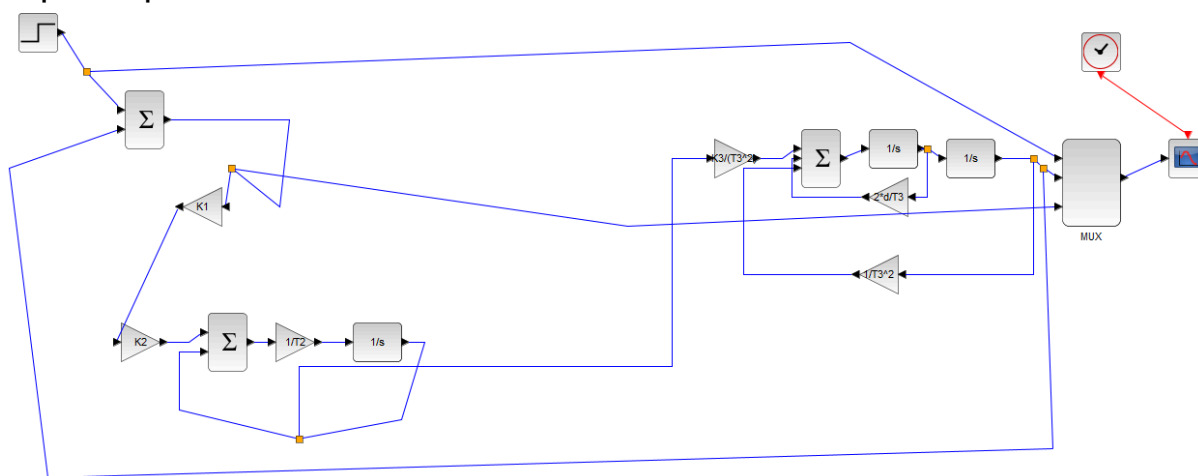


Рисунок 1 – структурная схема исследуемой системы.

Табличные значения параметров:

$$k_1 = 2$$

$$k_2 = 1$$

$$T_2 = 0.1$$

$$k_3 = 2$$

$$T_3 = 0.8$$

$$d = 0.8$$

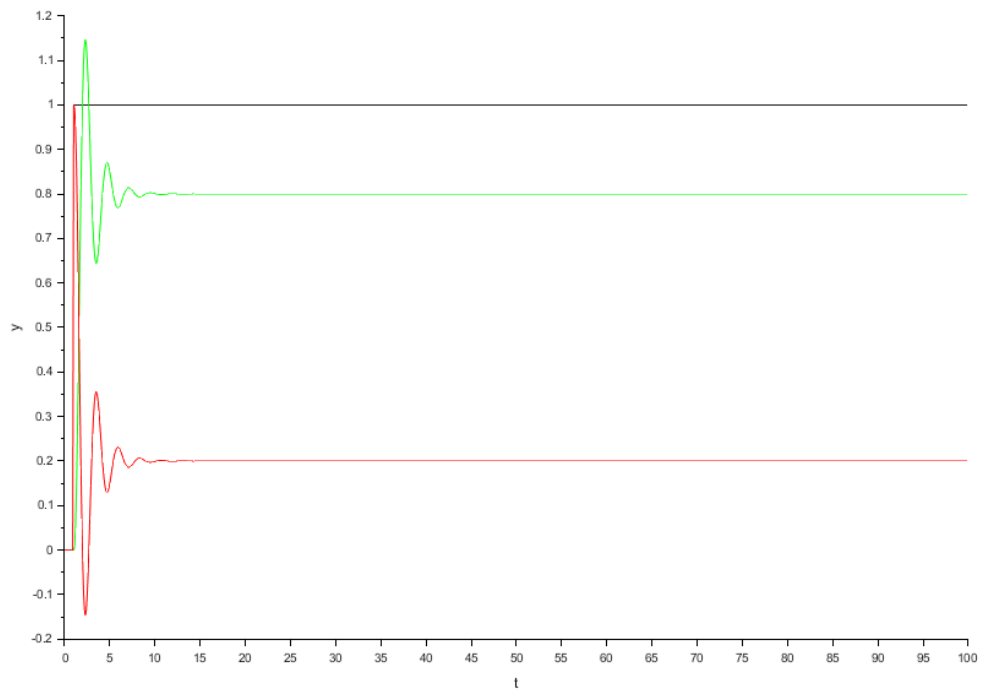


Рисунок 2 – график переходного процесса при табличных значениях параметров.

Зеленый – выход.

Красный – ошибка.

Рассчитанные и экспериментально найденные критические значения параметра  $k_1$ :

Колебательная граница устойчивости

$k_1 = 7.78$  (экспериментально)

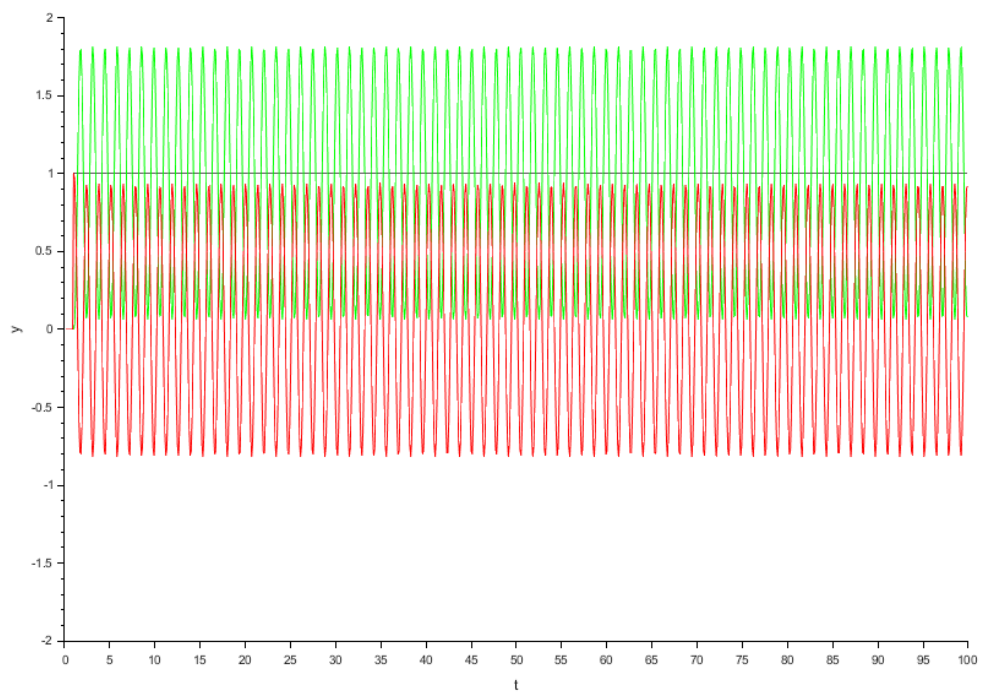


Рисунок 3 – график переходного процесса на колебательной границе устойчивости при  $k_1 = 7.78$ .

Апериодическая граница устойчивости  
 $k_1 = -0.5$  (экспериментально)

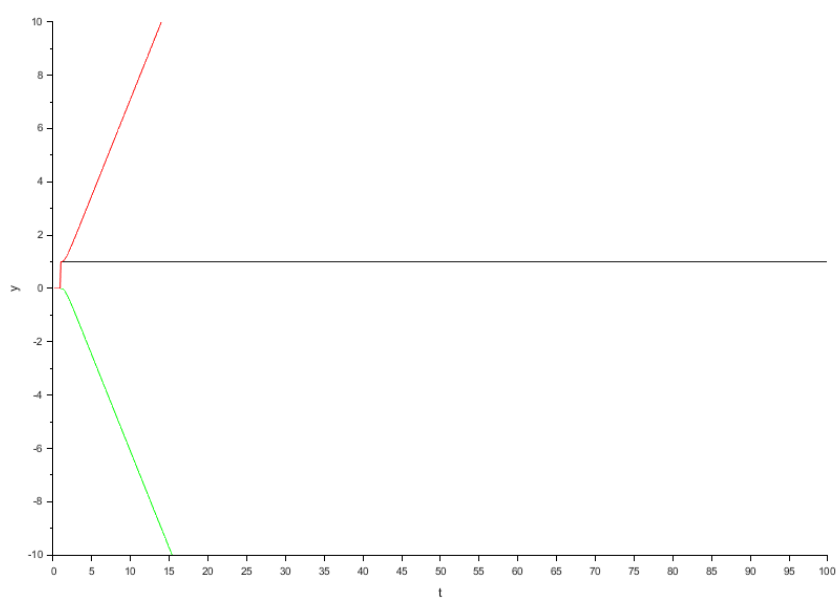


Рисунок 4 – график переходного процесса на апериодической границе устойчивости при  $k_1 = -0.5$ .

Расчетные значения критических параметров по критерию Найквиста.

$$W(p) = \frac{2k}{0.064p^3 + 2.378p^2 + 1.38p + 1}$$

$$W(jw) = \frac{2k((1-2.378w^2) - jw(1.38-0.064w^2))}{(1-2.378w^2)^2 - w^2(1.38-0.064w^2)^2}$$

$$\text{Re}(W(jw)) = \frac{2k(1-2.378w^2)}{(1-2.378w^2)^2 - w^2(1.38-0.064w^2)^2}$$

$$\text{Im}(W(jw)) = \frac{-2kw(1.38-0.064w^2)}{(1-2.378w^2)^2 - w^2(1.38-0.064w^2)^2}$$

$$\text{Im}(W(jw)) = 0 \rightarrow w_0 = 0, w_{1,2} = \pm \sqrt{1.38 / 0.064}$$

$$\text{Re}(W(jw_1)) = -1 \rightarrow k_1^{\text{кол.}} = 7.77$$

$$\text{Re}(W(jw_0)) = -1 \rightarrow k_1^{\text{апер.}} = -0.5$$

Таблица 1 – сравнение критических значений параметра  $k_1$ .

Граница устойчивости	Экспериментально	Теоретически
апериодическая	-0.5	-0.5
колебательная	7.78	7.77

Переходные процессы недалеко от границы устойчивости

Около колебательной границы:

$$k_1 = 0.8 * k_{1 \text{ кр}} = 6,224$$

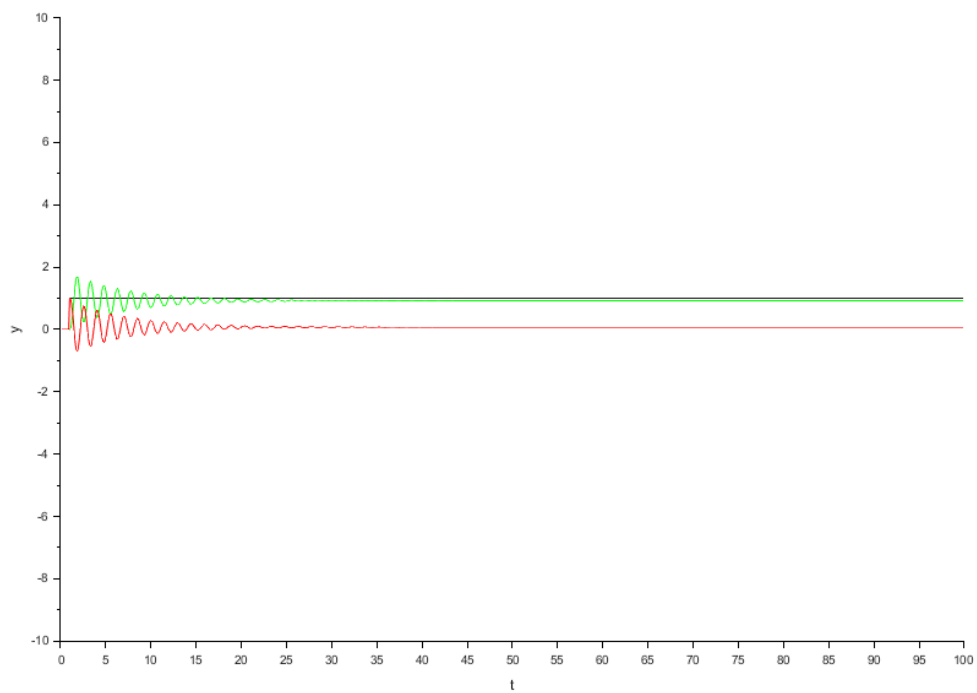


Рисунок 5 – график переходного процесса перед колебательной границей устойчивости при  $k_1 = 6.224$ .

$$k_1 = k_{1\text{кр}} = 7.78$$

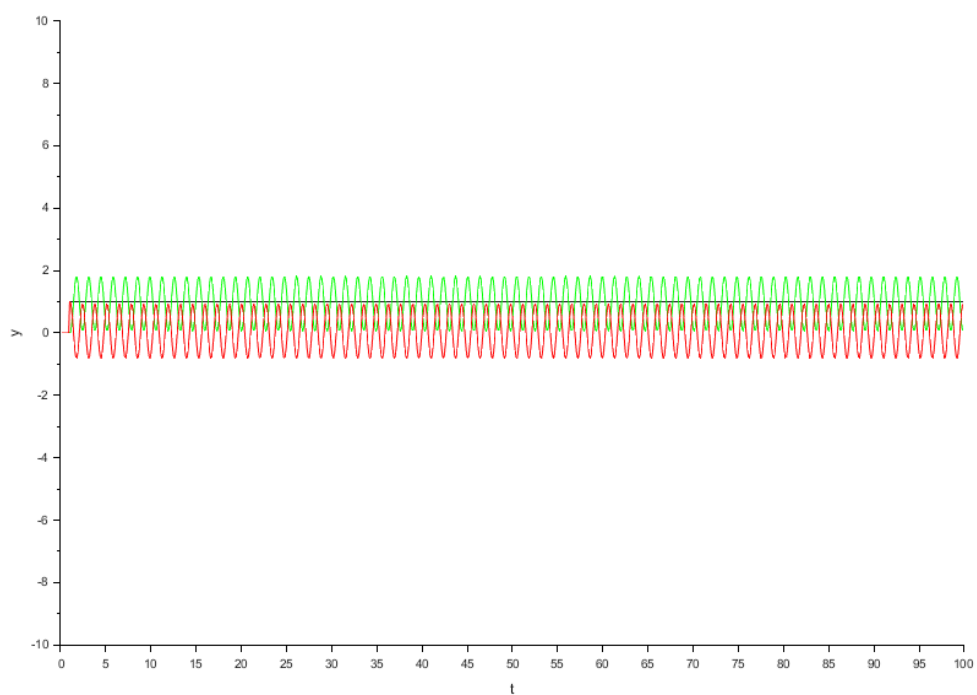


Рисунок 6 – график переходного процесса на колебательной границе устойчивости при  $k_1 = 7.78$ .

$$k_1 = 1.2 * k_{1\text{кр}} = 9.336$$

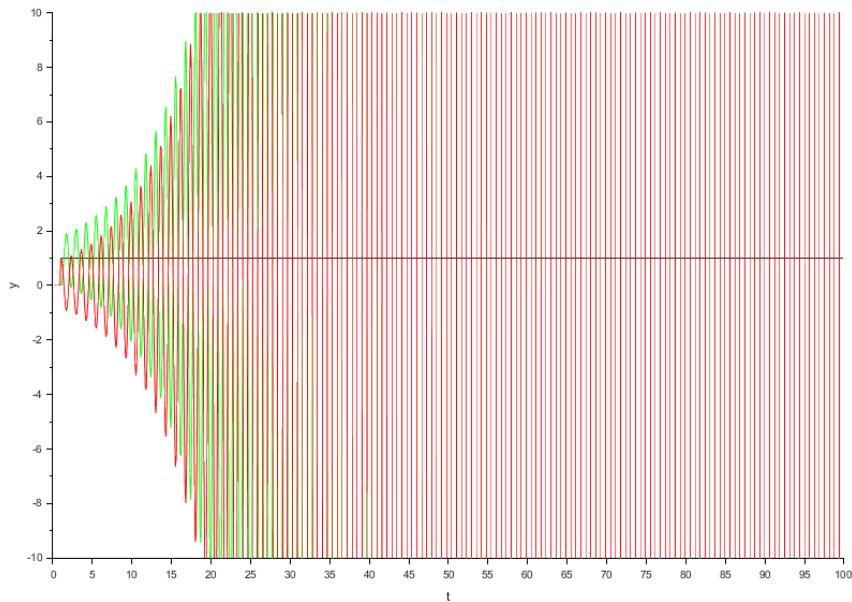


Рисунок 7 – график переходного процесса за колебательной границей устойчивости при  $k_1 = 9.336$ .

Около апериодической границы:

$$k_1 = 0.8 * k_{1\text{кр}} = -0.4$$

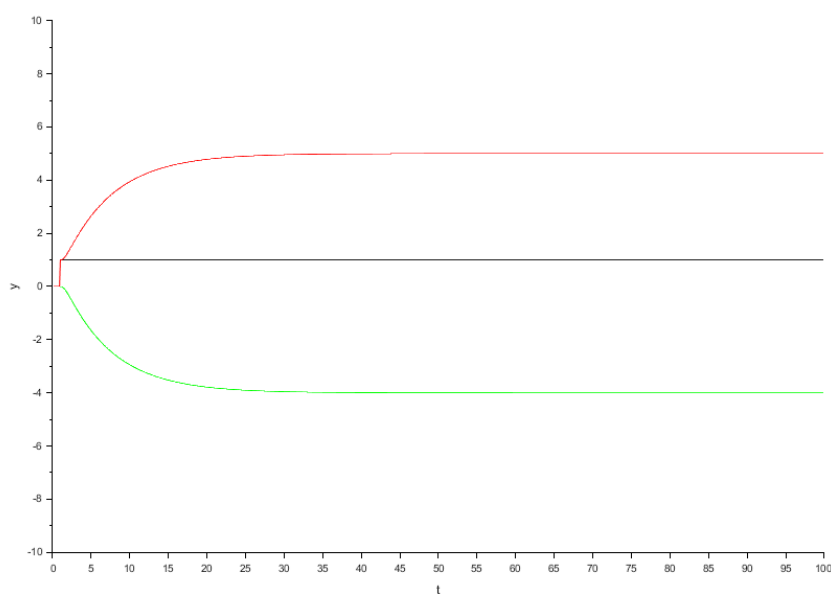


Рисунок 8 – график переходного процесса перед апериодической границей устойчивости при  $k_1 = -0.4$ .

$$k_1 = k_{1\text{кр}} = -0.5$$

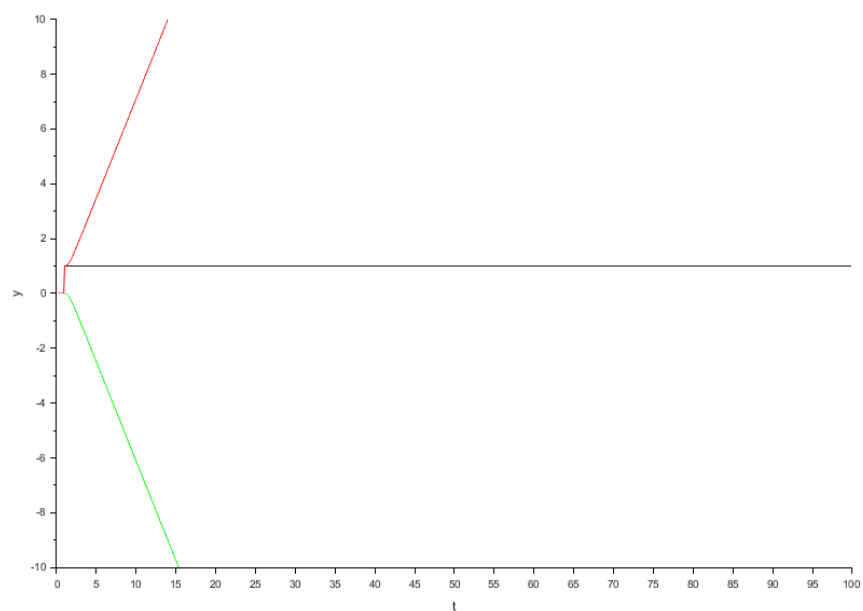


Рисунок 9 – график переходного процесса на апериодической границе устойчивости при  $k_1 = -0.5$ .

$$k_1 = 1.2 * k_{1\text{кр}} = -0.6$$

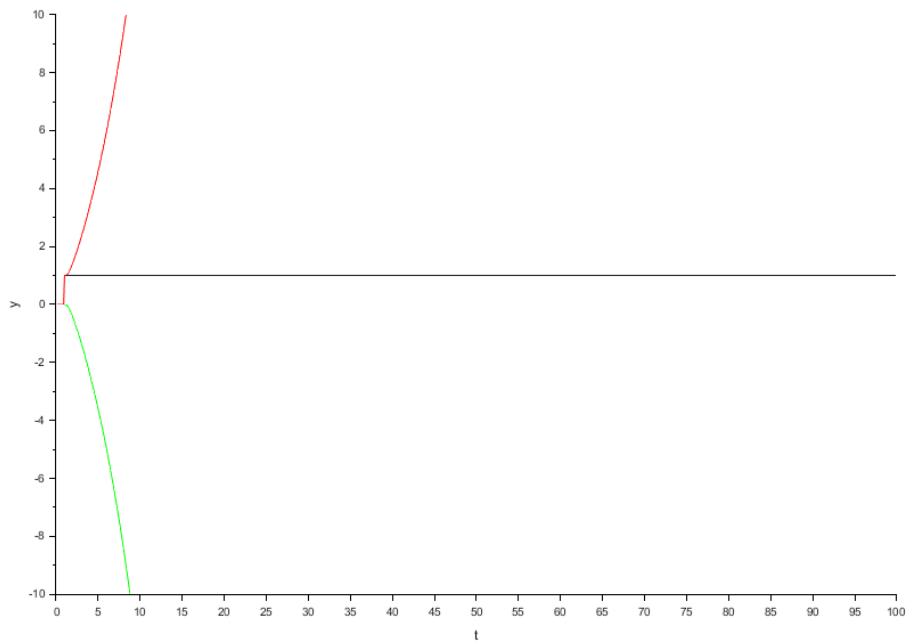


Рисунок 9 – график переходного процесса за апериодической границей устойчивости при  $k_1 = -0.6$ .

Таблица 2 – зависимость  $k_{1\text{кр}}$  от значения  $d$ .

$d$	0.4	0.8	1.6
$k_{1\text{кр}}$	3.575	7.75	18.125

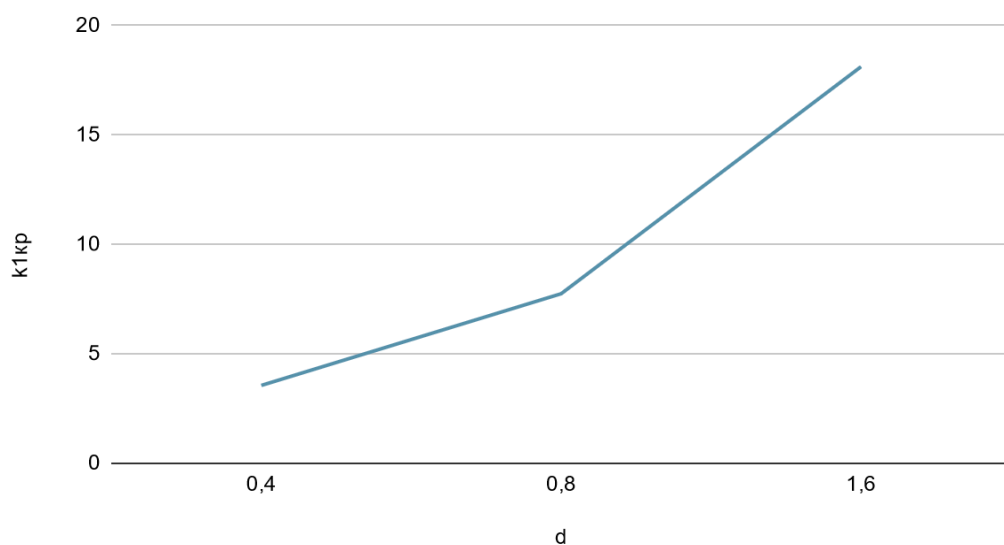


Рисунок 10 – график зависимости  $k_{1\text{кр}}$  от значения  $d$ .



Рассчитанное и экспериментально найденное критическое значение параметра  $d$  на колебательной границе устойчивости:

$d_{кр} = 0.233$  (экспериментально).

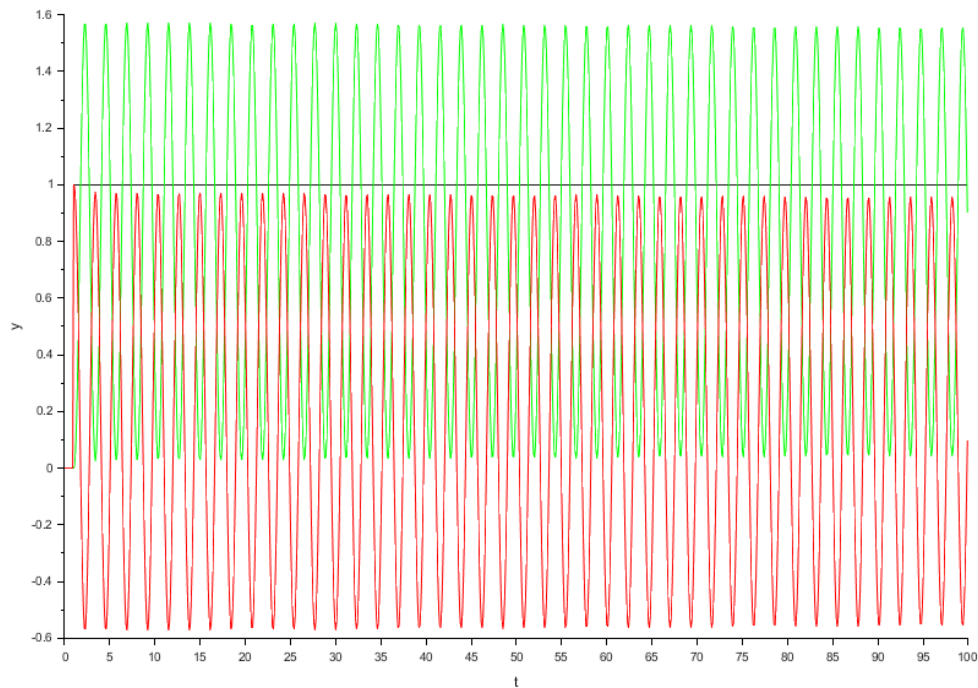


Рисунок 11 – график переходного процесса на колебательной границе устойчивости при  $d_{кр} = 0.233$ .

Условие колебательной устойчивости из критерия Гурвица таково:

$$A(p) = 0.064p^3 + (0.16d + 0.64)p^2 + (1.6d + 0.1)p + 5$$

$$H = \begin{bmatrix} 0.16d + 0.64 & 5 & 0 \\ 0.064 & 1.6d + 0.1 & 0 \\ 0 & 0.16d + 0.64 & 5 \end{bmatrix}$$

$$\Delta_1 = 0.16d + 0.64 > 0$$

$$\Delta_2 = \begin{vmatrix} 0.16d + 0.64 & 5 \\ 0.064 & 1.6d + 0.1 \end{vmatrix} = 0$$

$$d_{кр}^{кол.} = 0.232812$$

Рассчитанное и экспериментально найденное критическое значение параметра  $T_2$  на колебательной границе устойчивости.

При исходном значении  $k_1 = 2$  колебательной границы устойчивости для параметра  $T_2$  нет. Положим  $k_1 = 4$ . Тогда  $T_{2\text{кр}} = 0.26$  (экспериментально).

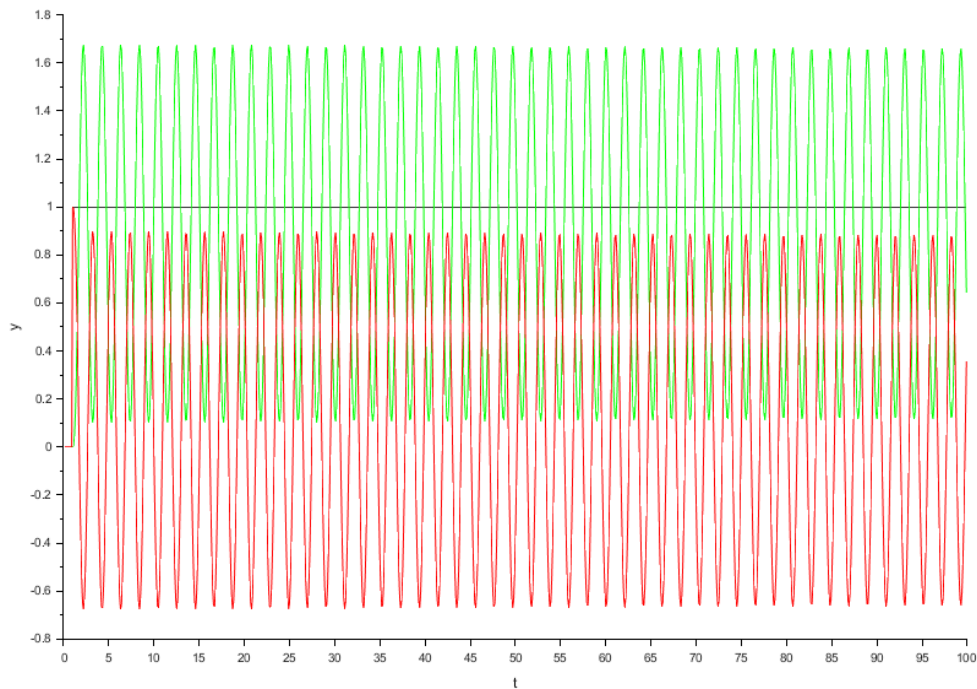


Рисунок 12 – график переходного процесса на колебательной границе устойчивости при  $T_2 = 0.26$ .

Условием нахождения системы на границе устойчивости является прохождение годографа Михайлова через начало координат.

$$A(p) = 0.64T_2p^3 + p^2(1.28T_2 + 0.64) + p(1.28 + T_2) + 5$$

$$A(jw) = (5 - w^2(1.28T_2 + 0.64)) + jw((T_2 + 1.28) - 0.64T_2w^2)$$

$$\text{Im}(jw) = 0$$

$$\text{Re}(jw) = 0$$

$$\begin{cases} 9 - w^2(1.28t + 0.64) = 0 \\ t + 1.28 - 0.64tw^2 = 0 \end{cases}$$

#### Solutions

$$t = \frac{34}{25} - \frac{6\sqrt{21}}{25}, \quad w = -\frac{1}{4}\sqrt{93 + 12\sqrt{21}}$$

$$t = \frac{34}{25} - \frac{6\sqrt{21}}{25}, \quad w = \frac{1}{4}\sqrt{93 + 12\sqrt{21}}$$

$$t = \frac{34}{25} + \frac{6\sqrt{21}}{25}, \quad w = -\frac{1}{4}\sqrt{93 - 12\sqrt{21}}$$

$$t = \frac{34}{25} + \frac{6\sqrt{21}}{25}, \quad w = \frac{1}{4}\sqrt{93 - 12\sqrt{21}}$$

Отсюда  $T_{2\text{кр}} = 0.26$  и  $T_{2\text{кр}} = 2.46$ . (Оба соответствуют колебательной границе устойчивости.)

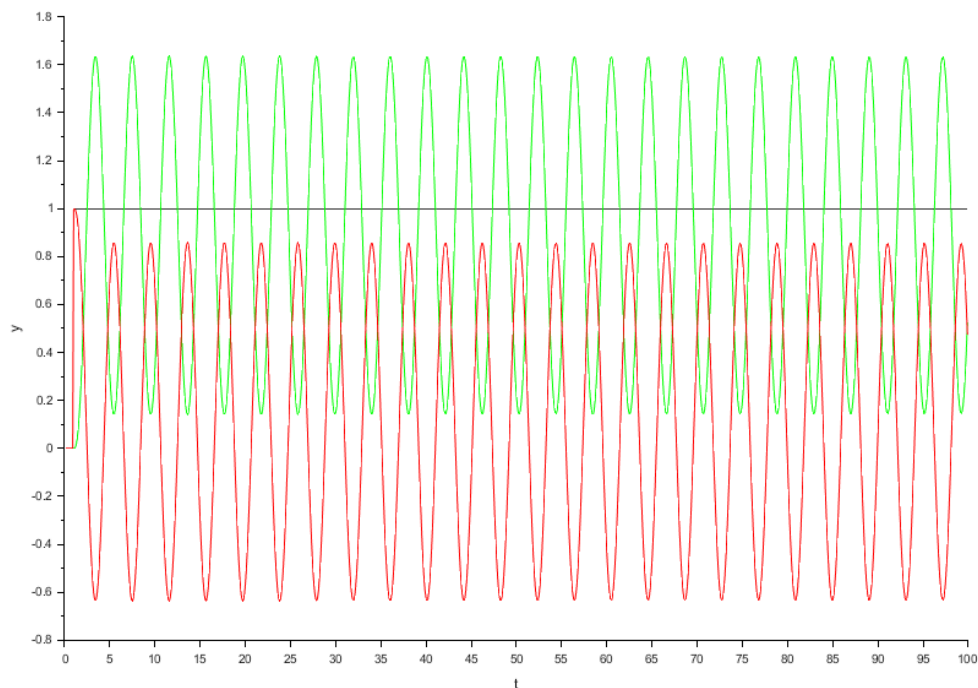


Рисунок 13 – график переходного процесса на колебательной границе устойчивости при  $T_{2\text{кр}} = 2.46$ .